

Varietà topologiche

M varietà topologica di dim m (m -varietà topologica)

$\stackrel{\text{def}}{\iff} M$ spazio top. T_2 , Π numerabile e localmente euclideo

($\forall p \in M \exists A \subset M$ intorno aperto di p

$\exists \varphi : A \rightarrow \varphi(A)$ omeo con $\varphi(A)$ aperto in R^m)

Note: 1) (A, φ) carta locale di M

$\rightsquigarrow (x_1, \dots, x_m)$ coordinate locali su $A \subset M$

2) $\forall p \in M \exists (A, \varphi)$ carta locale speciale intorno a p

tale che: $\varphi(p) = 0$, $\varphi(A) = R^m$, $\text{Cl } A \subset M$ compatta

3) M localmente euclideo $\iff M = \cup_{n \geq 1} A_n$

con (A_n, φ_n) carta locale (speciale) $\forall n \geq 1$

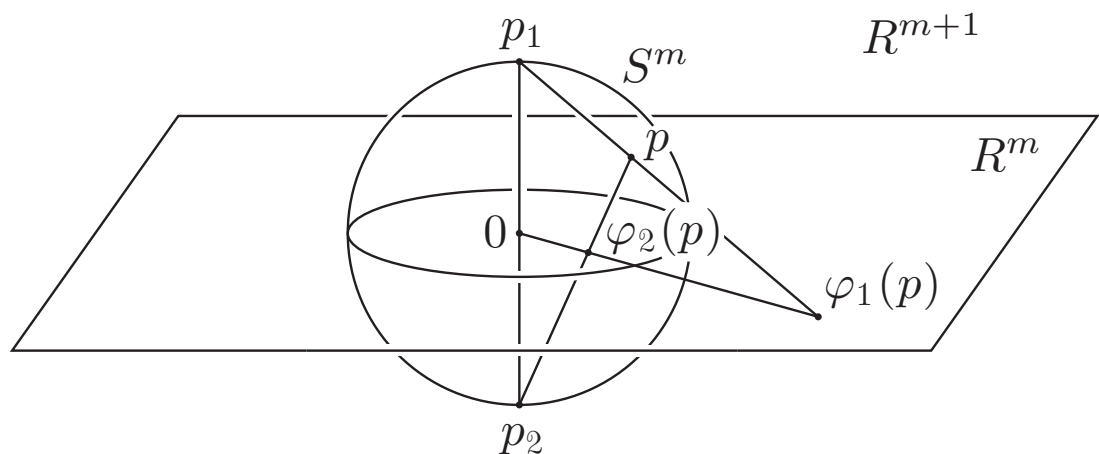
($\mathcal{A} = \{(A_n, \varphi_n)\}_{n \geq 1}$ atlante (speciale) di M)

Esempi: 1) $M =$ aperto in $R^m \rightsquigarrow \mathcal{A} = \{(M, \text{id}_M)\}$

2) $S^m \subset R^{m+1} \rightsquigarrow \mathcal{A} = \{(A_i, \varphi_i)\}_{i=1,2}$ carte stereografiche

($A_i = S^m - \{p_i\}$, $\varphi_i : A_i \rightarrow R^m$ proiezione stereografica

definita $\varphi_i(x_1, \dots, x_{m+1}) = (x_1, \dots, x_m) / (1 \pm x_{m+1})$)

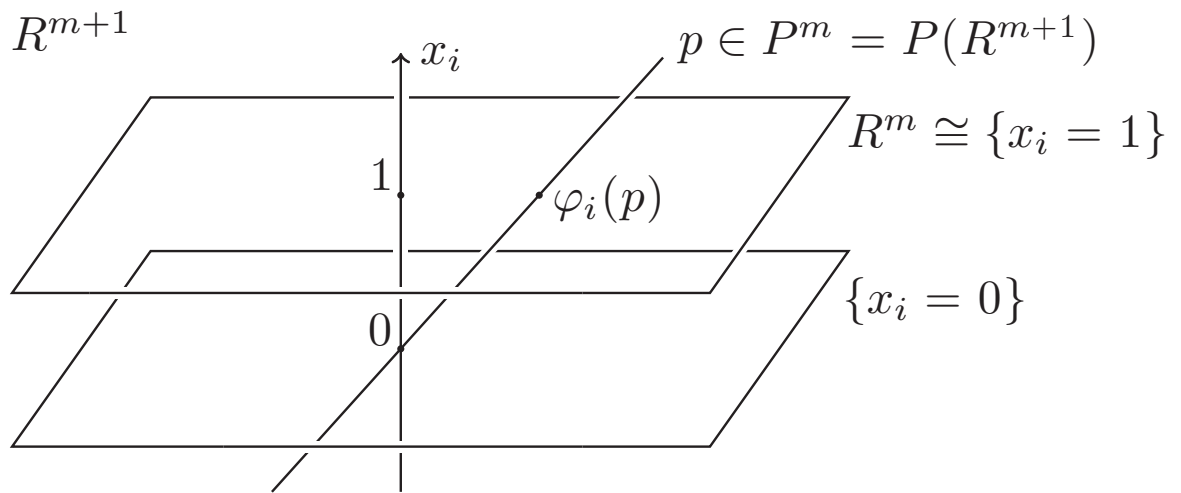


3) $T^m \rightsquigarrow \mathcal{A} = \{\text{inverse locali di } \pi : R^m \rightarrow T^m\}$

4) $P^m = P(R^{m+1}) \rightsquigarrow \mathcal{A} = \{(A_i, \varphi_i)\}_{i=1, \dots, m+1}$ carte affini

($A_i = \{[x_1, \dots, x_{m+1}] \in P^m \mid x_i \neq 0\}$, $\varphi_i : A_i \rightarrow R^m$

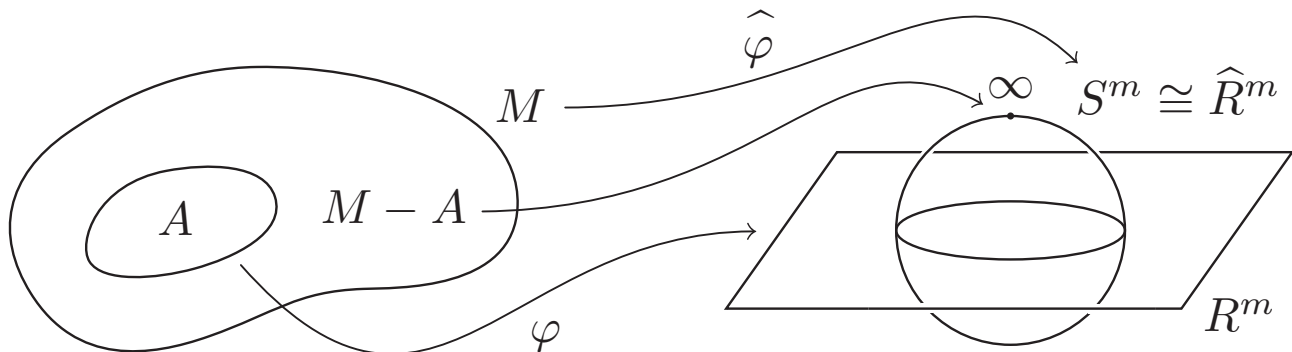
definita $\varphi_i([x_1, \dots, x_{m+1}]) = (x_1, \dots, \hat{x}_i, \dots, x_{m+1}) / x_i$)



- Note:
- 1) M m -varietà top., $N \subset M$ aperto $\Rightarrow N$ m -varietà top.
 $(\mathcal{A} \rightsquigarrow \mathcal{A}|_N = \{(A \cap N, \varphi|_{A \cap N}) \mid (A, \varphi) \in \mathcal{A}\})$
 - 2) M_i m -varietà top. $\forall i \Rightarrow M_1 \sqcup \dots \sqcup M_n$ m -varietà top.
 $(\mathcal{A}_1, \dots, \mathcal{A}_n \rightsquigarrow \mathcal{A} = \mathcal{A}_1 \cup \dots \cup \mathcal{A}_n)$
 - 3) M_i m_i -varietà top. $\forall i \Rightarrow M_1 \times \dots \times M_n$ $\Sigma_i m_i$ -varietà top.
 $(\mathcal{A}_i \rightsquigarrow \mathcal{A} = \{(A_1 \times \dots \times A_n, \varphi_1 \times \dots \times \varphi_n) \mid (A_i, \varphi_i) \in \mathcal{A}_i\})$
 - 4) M m -var. top., $p: M \rightarrow N$ rivest. finito $\Rightarrow N$ m -var. top.
 $(\mathcal{A}_M \rightsquigarrow \mathcal{A}_N = \{(B, \psi = \varphi \circ (p|_B)^{-1}) \mid (A_i, \varphi) \in \mathcal{A}_M\})$
 - 5) M m -var. top., $p: N \rightarrow M$ rivest. numer. $\Rightarrow N$ m -var. top.
 $(\mathcal{A}_M \rightsquigarrow \mathcal{A}_N = \{(A_i, \psi = p|_A \circ \varphi) \mid (B, \varphi) \in \mathcal{A}_M\})$

M m -varietà topologica, (A, φ) carta locale speciale

$\rightsquigarrow \hat{\varphi}: M \rightarrow S^m \cong \hat{R}^m$ continua t.c. $\hat{\varphi}|_A = \varphi$ e $\hat{\varphi}(M - A) = \infty$



Prop. M m -varietà top. compatta (vale per ogni varietà top.)
 $\Rightarrow \exists M \hookrightarrow R^n$ immersione con $n \geq m$

Dim. $\mathcal{A} = \{(A_1, \varphi_1), \dots, (A_k, \varphi_k)\}$ atlante speciale finito \rightsquigarrow
 $\hat{\varphi}_1 \times \dots \times \hat{\varphi}_k: M \rightarrow S^m \times \dots \times S^m \subset R^{(m+1)k}$ immersione

Prop. M m -varietà topologica $\Rightarrow M$ metrizzabile

Dim. $\mathcal{A} = \{(A_n, \varphi_n)\}_{n \geq 1}$ atlante speciale numerabile

$\rightsquigarrow d(p, q) = \sum_n d(\hat{\varphi}_n(p), \hat{\varphi}_n(q)) / 2^n$ metrica per M

(d continua $\Rightarrow B(p, \varepsilon) \subset M$ aperto $\forall p \in M \forall \varepsilon > 0$)

$p \in A \subset M \Rightarrow \exists n \exists \varepsilon > 0$ t.c. $B(\hat{\varphi}_n(p), 2^n \varepsilon) \subset \hat{\varphi}_n(A \cap A_n)$

$\Rightarrow B(p, \varepsilon) \subset A$ ($d(p, q) < \varepsilon \Rightarrow d(\hat{\varphi}_n(p), \hat{\varphi}_n(q)) < 2^n \varepsilon$)

Classificazione delle 1-varietà top. (curve topologiche)

Lemma. M curva topologica \Rightarrow

$\exists \mathcal{S} = \{S_n\}_{n \geq 1}$ ric. num. loc. finito di M (segmentazione)

t.c. 1) S_n "segmento" $\forall n$ ($\exists h_n : [0, 1] \rightarrow S_n$ omeo)

2) $S_{n_1} \cap S_{n_2} = \emptyset$ o "estremo" comune $\forall n_1 \neq n_2$

Dim. $\mathcal{A} = \{(A_n, \varphi_n)\}_{n \geq 1}$ atlante speciale numerabile

tale che $M = \cup_{n \geq 1} C_n$ con $C_n = \varphi_n^{-1}([-1, 1])$

$\rightsquigarrow \{S_n\}_{n \geq 1}$ t.c. 1), 2) e 3) $C_1 \cup \dots \cup C_n \subset S_1 \cup \dots \cup S_{m_n}$

(induzione a partire da $m_1 = 1$ e $S_1 = C_1$)

$S_1, \dots, S_{m_{n-1}} \rightsquigarrow S_{m_{n-1}+1}, \dots, S_{m_n}$

= Cl_{C_n} componenti connesse

di $C_n - (S_1 \cup \dots \cup S_{m_{n-1}})$

Prop. M curva topologica connessa $\Leftrightarrow M \cong R^1$ o S^1

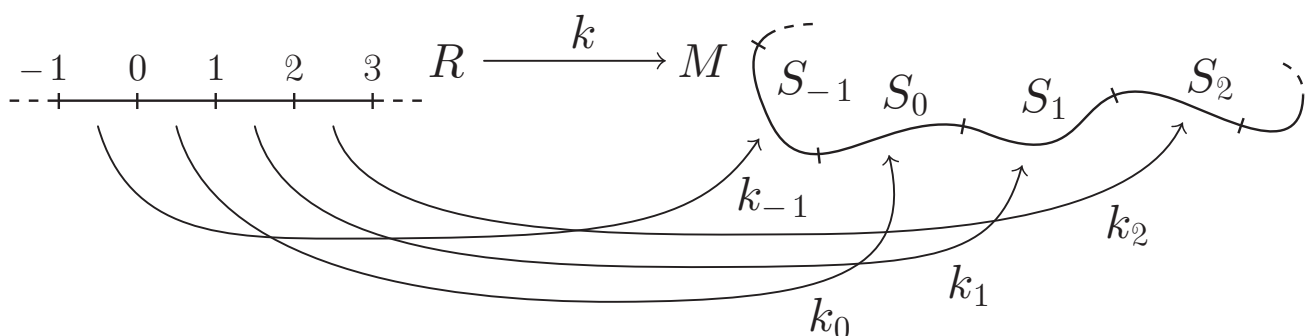
Dim. ogni "vertice" di \mathcal{S} è estremo di due "segmenti"

$\rightsquigarrow \mathcal{S} = \{S_{n_i}\}_{i \in \mathbb{Z}}$ rinumerazione t.c. $S_{n_i} \cap S_{n_{i+1}} \neq \emptyset$

$k_i : [i, i+1] \rightarrow S_{n_i}$ omeo t.c. $k_i(i+1) = k_{i+1}(i)$

$\rightsquigarrow k = \cup_i k_i : R \rightarrow M$ omeomorfismo se M non compatto

rivestimento se M compatto

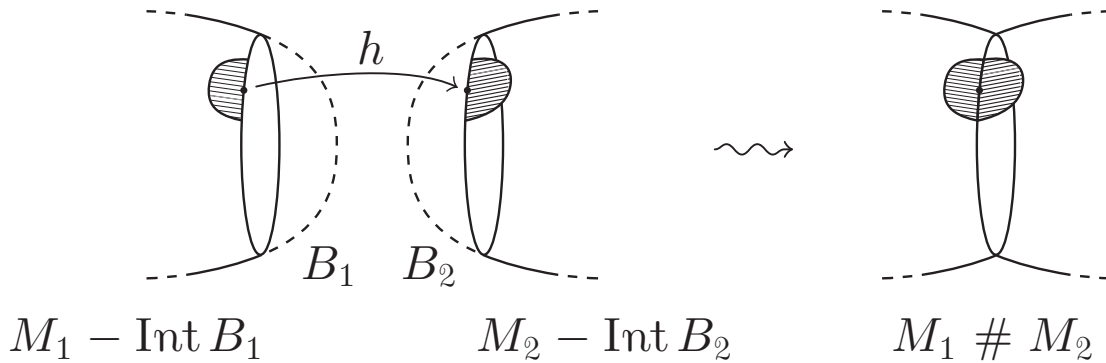


Classificazione delle 2-varietà top. (superfici topologiche)

M_1, M_2 superfici topologiche connesse

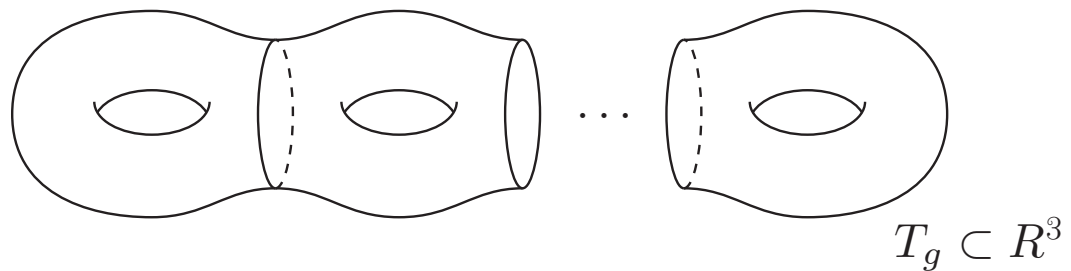
$$\rightsquigarrow M_1 \# M_2 \stackrel{\text{def}}{=} (M_1 - \text{Int } B_1) \sqcup (M_2 - \text{Int } B_2) / p \sim h(p)$$

con $B_1, B_2 \cong B^2$ e $h : \text{Fr } B_1 \rightarrow \text{Fr } B_2$ omeo



- Note: 1) $M_1 \# M_2$ è una sup. top. connessa (somma connessa)
 t. di Schönflies $\Rightarrow M_1 \# M_2$ ben definita a meno di omeo
 2) $\#$ commutativa e associativa, $S^2 =$ elemento neutro

Esempi: $T_g \stackrel{\text{def}}{=} T^2 \# \dots \# T^2$ sup. orientabile di genere g (≥ 0)
 $P_g \stackrel{\text{def}}{=} P^2 \# \dots \# P^2$ sup. non orient. di genere g (≥ 1)



Lemma. M superficie topologica \Rightarrow

- $\exists \mathcal{P} = \{P_n\}_{n \geq 1}$ ric. num. loc. finito di M (poligonazione)
 t.c. 1) P_n “poligono” $\forall n$ ($\exists h_n : D_n \rightarrow P_n$ omeo con
 $D_n \subset R^2$ poligono convesso)
 2) $P_{n_1} \cap P_{n_2} = \emptyset$ o “vertice” o “lato” $\forall n_1 \neq n_2$

Lemma. M superficie topologica connessa compatta

$$\Leftrightarrow M \cong D / \sim \text{ con } D \subset R^2 \text{ poligono convesso e } \sim \text{ relazione d'equiv. che identif. i lati di } D \text{ a coppie}$$

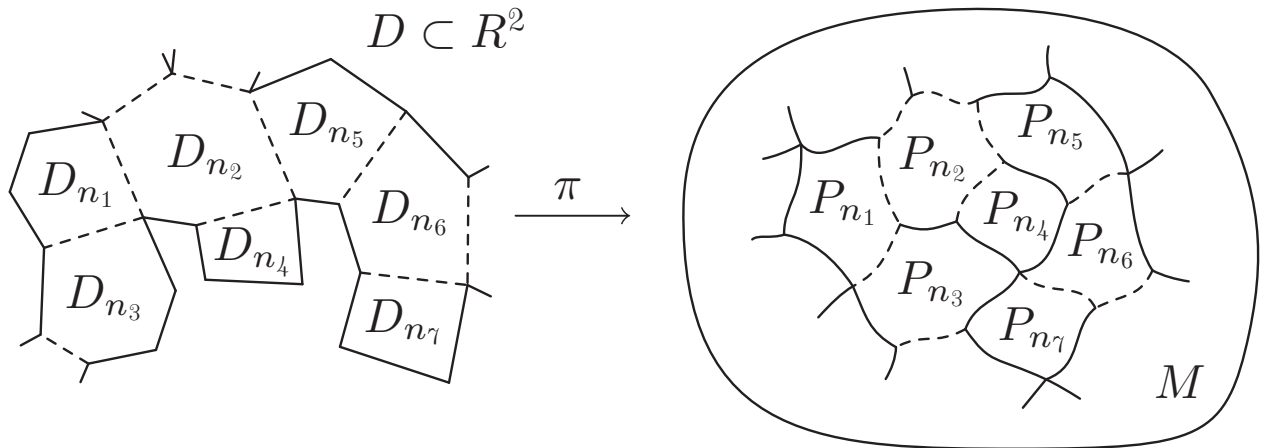
Dim. $\mathcal{P} = \{P_1, \dots, P_k\}$ poligonazione finita di M

ogni "segmento" di \mathcal{P} è "lato" di due "poligoni"

$\leadsto \mathcal{P} = \{P_{n_1}, \dots, P_{n_k}\}$ rinumerazione t.c.

$P_{n_i} \cap (P_{n_1} \cup \dots \cup P_{n_{i-1}}) \supset S_i = \text{"lato"} \iff L_i \subset D_{n_i}$

$\leadsto D \cong D_{n_1} \sqcup_{L_2} D_{n_2} \sqcup_{L_3} D_{n_3} \sqcup_{L_4} \dots \sqcup_{L_k} D_{n_k}$

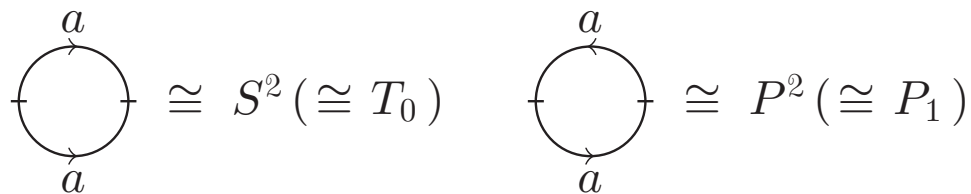


Prop. M superficie topologica connessa compatta

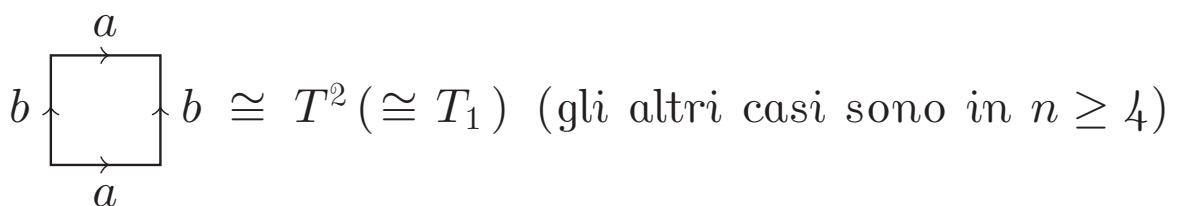
$\iff M \cong T_g$ con $g \geq 0$ o $M \cong P_g$ con $g \geq 1$

Dim. $M \cong D/\sim$ + induz. su $n = \#$ "lati" di $D \Rightarrow M \cong T_g \# P_g$

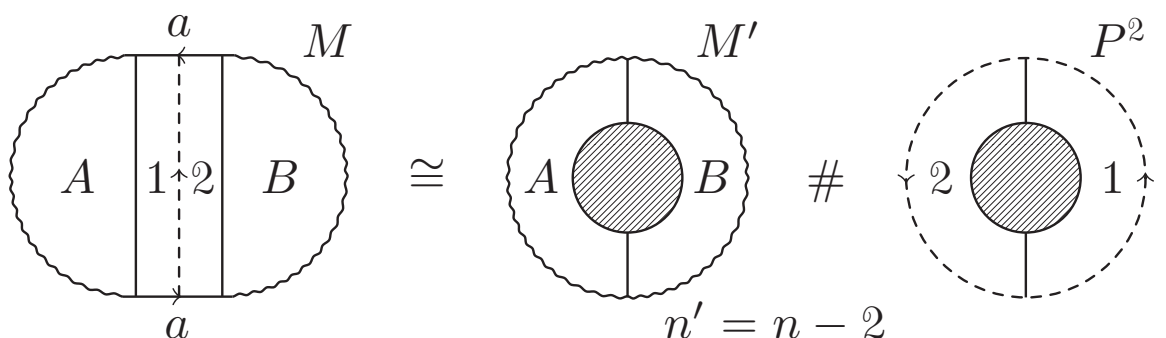
$n = 2$)



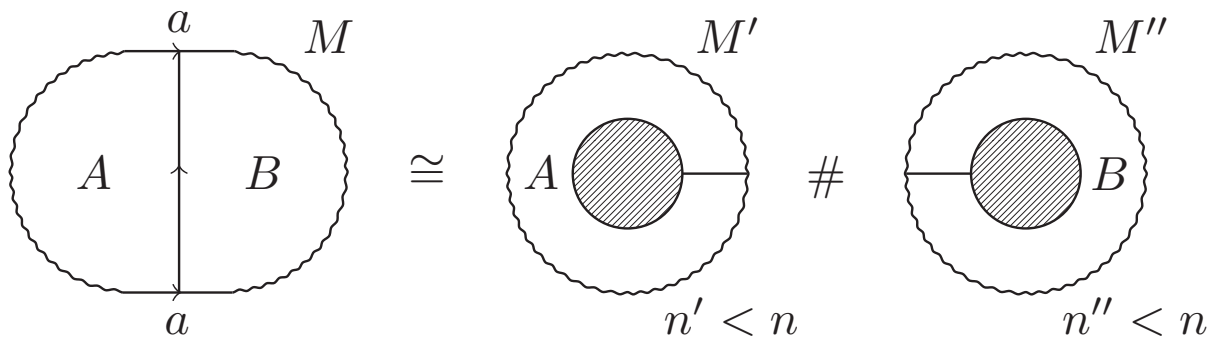
$n = 4$)



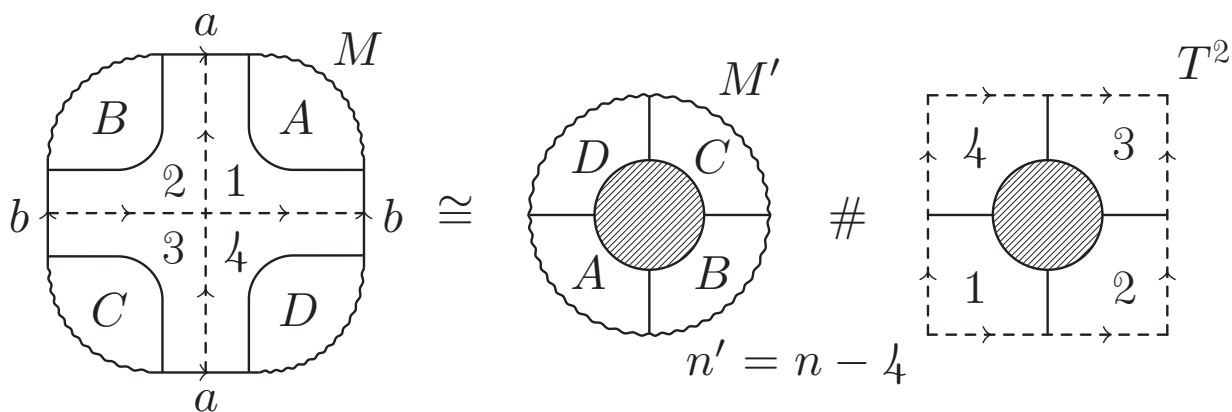
$n \geq 4$) I caso: \exists lati che si identificano con orient. concordi



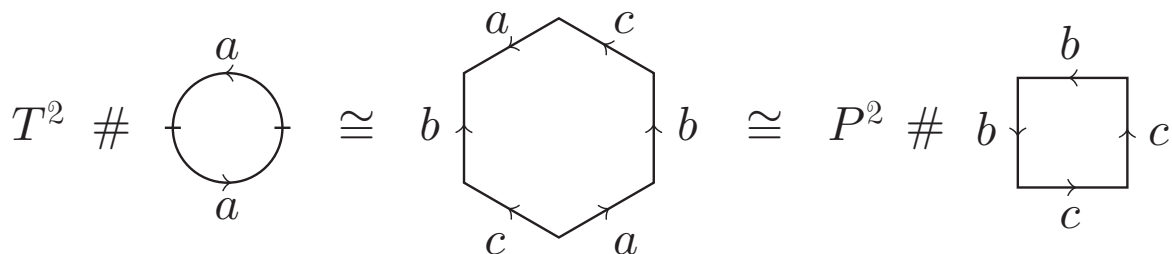
II caso: lati in A non si identificano con lati in B



III caso:

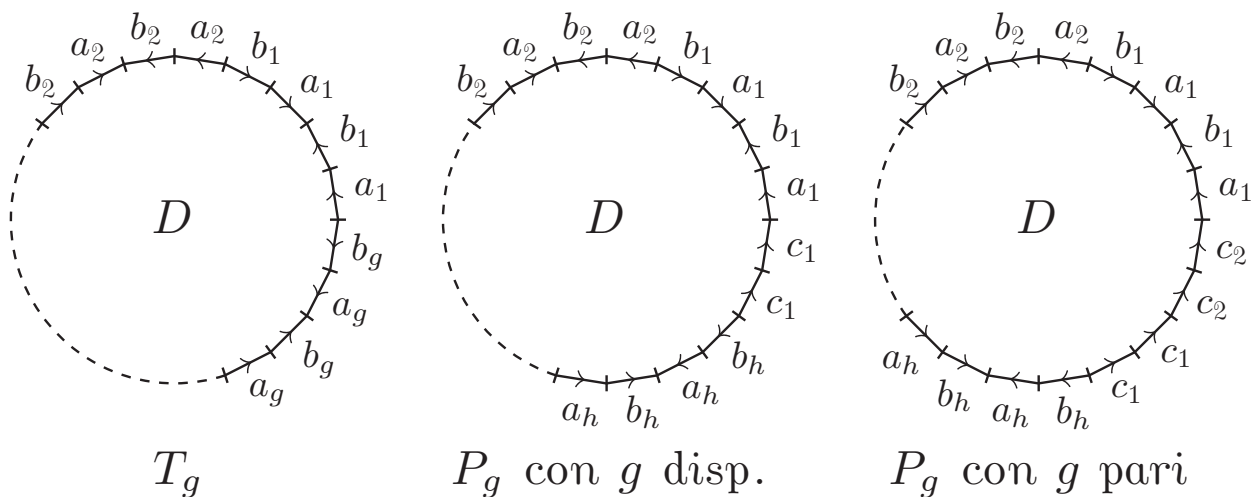


Resta da provare che: $T^2 \# P^2 \cong P^2 \# P^2 \# P^2$



Nota: dim. \rightsquigarrow rappresentazione canonica delle superfici

$$P_g \cong \begin{cases} T_h \# P^2 & \text{con } h = (g - 1)/2 \text{ se } g \text{ dispari} \\ T_h \# P^2 \# P^2 & \text{con } h = (g - 2)/2 \text{ se } g \text{ pari} \end{cases}$$



Prop. $\pi_1(T_g) \cong \langle a_1, b_1, a_2, b_2, \dots, a_g, b_g \mid [a_1, b_1][a_2, b_2] \dots [a_g, b_g] \rangle$
 $\pi_1(P_g) \cong \begin{cases} \langle a_1, b_1, \dots, a_h, b_h, c_1 \mid [a_1, b_1] \dots [a_g, b_g] c_1^2 \rangle & \text{se } g \text{ dispari} \\ \langle a_1, b_1, \dots, a_h, b_h, c_1, c_2 \mid [a_1, b_1] \dots [a_g, b_g] c_1^2 c_2^2 \rangle & \text{se } g \text{ pari} \end{cases}$
 $H_1(T_g) \cong \mathbb{Z}^{2g} \quad \forall g \geq 0 \quad \text{e} \quad H_1(P_g) \cong \mathbb{Z}^{g-1} \oplus \mathbb{Z}_2 \quad \forall g \geq 1$

Dim. applicazione del teorema di Seifert-Van Kampen

con: $X_1 = (\text{Int } D)/\sim \cong \text{Int } D$ semplicemente connesso

$X_2 = (D - \{p\})/\sim \simeq (\text{Fr } D)/\sim \cong \vee_n S^1$ e $X_1 \cap X_2 \simeq S^1$

Prop. Le superfici T_g con $g \geq 0$ e P_g con $g \geq 1$ sono a due a due non omeomorfe

Dim. gli H_1 sono a due a due non isomorfi

Nota: in questo caso passando da π_1 ad H_1 si conservano abbastanza informazioni per distinguere le superfici

M superficie topologica compatta, \mathcal{P} poligonazione di M

$\chi(M) \stackrel{\text{def}}{=} \# \{\text{poligoni di } \mathcal{P}\} - \# \{\text{lati di } \mathcal{P}\} + \# \{\text{vertici di } \mathcal{P}\}$
 \swarrow caratteristica di Eulero-Poincaré di M

Note: 1) $\chi(M)$ è ben definita, cioè non dipende da \mathcal{P}

(\mathcal{P}' suddivisione di $\mathcal{P} \Rightarrow \chi_{\mathcal{P}'}(M) = \chi_{\mathcal{P}}(M)$,

$\forall \mathcal{P} \exists \mathcal{P}'$ suddivisione comune a \mathcal{P}''

t.c. $\mathcal{P}'' \rightsquigarrow$ rappresentazione canonica)

2) $\chi(S^2) = 2$, $\chi(P^2) = 1$, $\chi(T^2) = 0$

3) $\chi(M_1 \# M_2) = \chi(M_1) + \chi(M_2) - 2$

$\hookrightarrow \chi(T_g) = 2 - 2g \quad \forall g \geq 0 \quad \text{e} \quad \chi(P_g) = 2 - g \quad \forall g \geq 1$

4) $\chi(M)$ è invariante per omeo, quindi distingue tra loro le superfici orientabili e le superfici non orientabili

(M orientabile $\Rightarrow \exists M \hookrightarrow R^3 \Rightarrow \nexists Mb \hookrightarrow M$

M non orientabile $\Rightarrow M \cong M' \# P^2 \Rightarrow \exists Mb \hookrightarrow M$)

Conclusione: M, M' superfici topologiche connesse compatte

$M \cong M' \Leftrightarrow \pi_1(M) \cong \pi_1(M') \Leftrightarrow H_1(M) \cong H_1(M')$

$\Leftrightarrow \chi(M) = \chi(M')$ e M, M' orien./non orien.